鉄筋メッシュパネルを用いた連続鉄筋コンクリート舗装の疲労耐荷性能

山口大学大学院 学生会員○安井 響 株式会社藤崎商会 片山典信 株式会社藤崎商会 上野剛尚 山口大学大学院 正会員 吉武 勇

1. はじめに

近年,生産年齢人口の減少下にある我が国において,労働生産性の向上が課題とされており,特に人手不足 が問題となっている土木事業においては、生産性の向上が求められている. 日本における道路舗装の割合はア スファルトコンクリート舗装が 95% であるのに対し、セメントコンクリート舗装は僅か 5% にすぎない. しか し、近年ではアスファルトコンクリート舗装に比べ、ライフサイクルコスト (LCC) や長期耐久性に優れたセ メントコンクリート舗装の需要が増加しつつある.一般的な無筋コンクリート舗装にはひび割れを集中させ るために横収縮目地が設けられるが、交通荷重により舗装版に段差が生じるといった目地部の損傷が問題と なる.このような課題の一解決策として挙げられるのが、連続鉄筋コンクリート舗装(以下 CRCP と表記)で ある. CRCPでは、このような目地を省略することで舗装版に段差が生じにくくなり、車両の走行性が良好に なり、結果的に LCC も向上できる可能性もある. 従来の CRCP の施工では、人力で 1 本ずつ配力鉄筋を主鉄 筋に対し60°に配置・結束していたため、長期の施工時間を要していた.工場で予め溶接された「鉄筋メッシ ュパネル」を用いることで CRCP 施工における生産性向上が期待できる ¹⁾. しかし、鉄筋メッシュパネルを用 いた CRCP の力学特性や、繰返し荷重に弱いとされる鉄筋の溶接箇所の調査が充分に行われていない. そこで 本研究では、鉄筋メッシュパネルを用いた CRCP 版について、繰返し載荷による疲労耐荷性能について実験的

検討を行った. 2. 実験方法

本研究で使用したコンクリート型枠と鉄筋の設置状況を図-1に示す.表-1に示す配合のコンクリートを用いて,1辺が1500 mm, 版厚が150 mmの正方形状のCRCP版供試体を6体作製し た. 図-1(a) · (b)に示すように、CRCP版の鉄筋配置の異なる供 試体を3体ずつ作製した. コンクリート版の表面から下方に1/3 の位置に鉄筋を設置した. また, 丸印に示す場所にひずみゲー

ジを設置した. コンクリート打設後, 材齢28日 以降に載荷試験を開始した. CRCP版供試体を 4辺単純支持で設置し、それぞれの支間長を 1200 mmとした. 載荷幅は、車両のタイヤと舗 S1:加工砂, S2:砕砂, G1:砕石 (1305), G2:砕石 (2013), Ad:AE 減水剤 装が触れる面積に相当する1辺が150 mmの正

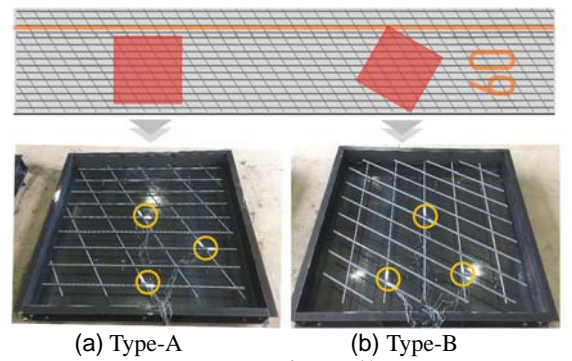


図-1 CRCP版の鉄筋配置

表-1 コンクリート配合

W/C	単位量 [kg/m³]						
[%]	W	C	S1	S2	G1	G2	Ad
40	171	428	402	272	365	677	3. 85

方形の鋼版を使用し載荷を行った. また図-1中の黄丸の位置にひずみゲージを貼付した.

先ず静的載荷により98 kNまで負荷して、CRCP版にひび割れを発生させた。その後、上限荷重を98 kN、下 限荷重を9.8kNとした繰返し載荷を行った.なお、繰返し載荷速度は1セット目は4Hz、2・3セット目は0.5Hz とした. 疲労試験終了後, 供試体下面のひび割れの発生状況のスケッチを行った.

キーワード 連続鉄筋コンクリート舗装,鉄筋メッシュパネル,疲労

連絡先 〒755-8611 山口県宇部市常盤台 2-16-1 山口大学大学院創成科学研究科 TEL0836-85-9306

3. 結果と考察

本実験における全 CRCP 版の疲労破壊数を**表-2** に示す.1 セット目 Type-A では載荷速度を 4Hz と設定して いたため 200 万回載荷まで疲労破壊が生じなかった. これ以外は 0.5Hz で載荷を行った. 3 セット目の Type-B 以外は約27万回で疲労破壊となり、Type-A と Type-B の疲労性状に有意な差異はみられなかった. 舗装版 (2 セット目, Type-A) の破壊時の下面のひび割れ状況を図-2 に示す. D16 と D13 方向を 2 等分する斜めひ び割れが顕著にみられた. ひび割れ幅に着目すると, 図中のひび割れ(1) のひび割れ幅が最大となっている. また、鉄筋の配置に着目すると、D13 が D16 に対し 60° に配置されている. 以上のことから、(1) のひび割 れが発生したものと思われる.また, CRCP版の中央部から斜め方向にひび割れ(3)・(4)がみられた.これ らは, ひび割れ幅の大きさとひび割れ発生箇所から, 先述したひび割れ発生後に生じたひび割れと推察される.

さらに中央部から発生した比較的幅の小さいひび割れ (2)・(5) は、舗装版内部の鉄筋によって分散されたも のと考えられる. CRCP 版中央部の鉄筋ひずみ・コンク リート版のたわみを図-3 に示す. 鉄筋ひずみは、Type-A では載荷回数 10 万回を超えたあたりから降伏に至っ たが、Type-B では載荷回数 20 万回付近で鉄筋降伏が発 生した. これは Type-A と Type-B では鉄筋の配置が異な り、それに応じた荷重配分が異なるためと思われる.

Type-A では, 載荷回数 10 万回でたわみが約 10mm, 載荷 回数 20 万回で 12mm に達した. 一方, Type-B では載荷 回数 20 万回にして約 10mm に達した. たわみの変化に はほとんど相違がみられなかったが、Type-A の方がた わみ量 2mm 大きい値となった. 載荷回数 10 万回を超 えたあたりから急激にたわみが増加しているのはコン クリート内部の鉄筋が降伏したためと考えられる.

4. まとめ

本研究の範囲内で得られた結論を以下に示す.

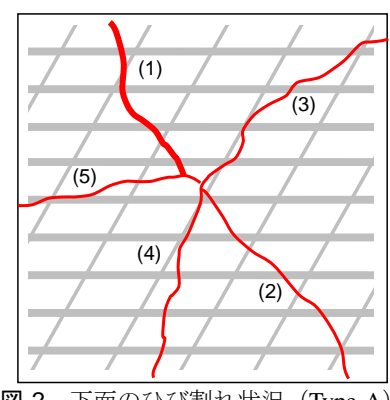
- (1) 鉄筋メッシュパネルを用いた CRCP 舗装下の空洞 を想定した載荷試験において、最大荷重 98kN の繰 返し作用でも疲労破壊数は27万回程度に達するこ とを確認した.
- (2) 対角線上に D16 と D13 方向を 2 等分する顕著な斜 めひび割れがみられた. このひび割れを起点とし てさらに細かいひび割れが鉄筋に沿って発生・進 展することがわかった.

参考文献

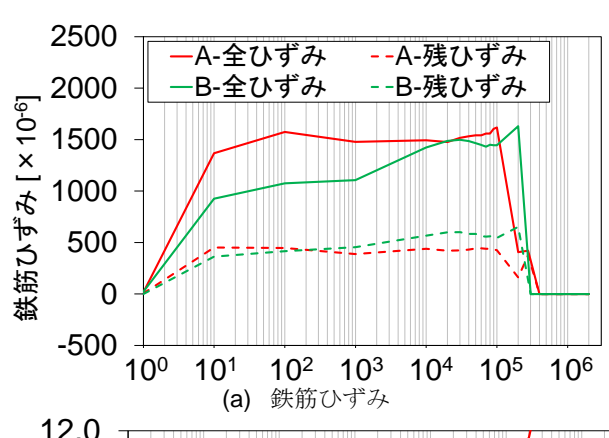
1) Norinobu KATAYAMA, Kazuhiko FUJISAKI, TSUTSUI, Hiroaki MATSUDA and Isamu YOSHITAKE: Practical Application of Prefabricated Steel Bar Meshes for Continuously Reinforced Concrete Pavement, Proceedings of the 13th International Symposium on Concrete Roads, 2018.

表-2 疲労破壊数(回)

	Type-A	Type-B
1セット目	(2,000,000)	912,600
2セット目	277,707	266,300
3 セット目	291,465	133,620



下面のひび割れ状況 (Type-A)



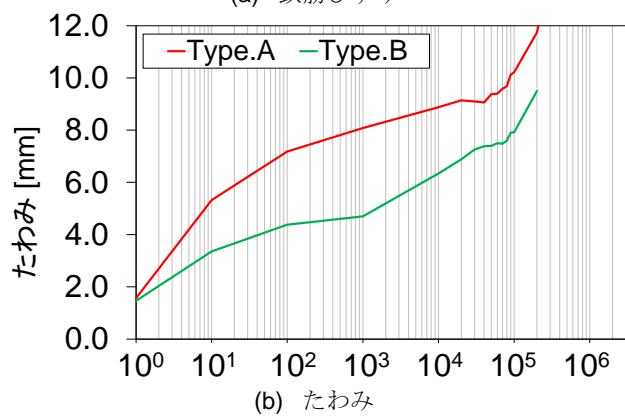


図-3 CRCP版中央部のひずみ・たわみ